

## بهسازی اتصالات صلب فولادی متداول از طریق کاهش مقطع بال

محسن گرامی<sup>۱\*</sup>، امین غزنوی اسکوئی<sup>۲</sup>

۱- استادیار دانشگاه سمنان ، پژوهشگر فوق دکتری سازه ، دانشگاه تربیت مدرس

۲- دانش آموخته کارشناسی ارشد سازه دانشگاه سمنان

mgerami@semnan.ac.ir

(دریافت مقاله: اردیبهشت ۱۳۸۶، پذیرش مقاله: مرداد ۱۳۸۸)

**چکیده**- در زلزله‌های اخیر اتصالات بسیاری از سازه‌های فولادی که دارای سیستم مقاوم قاب حمშی بودند دچار شکستگی ترد در جوش اتصالات تیر و ستون شده‌است. بر اثر تحقیقات مشخص ساخت که بیشتر آسیب‌ها به‌علت ترک خوردگی جوش بین بال پایینی تیر و ورق بال ستون ایجاد شده و بال بالایی به‌علت اثر اندرکنشی دال بتنی کف از خود مقاومت نشان داده‌است. برای جلوگیری از ترک خوردگی جوش و در نتیجه شکست ترد اتصال، از روش‌های مختلف مقاوم سازی یا بهسازی می‌توان بهره‌برداری کنید. با توجه به این نکته که بال بالایی تیر در داخل بتن کف قرار دارد و برداشتن دال کف از دیدگاه هزینه و مسائل اجرایی مشکل است، اجرای طرح مقاوم سازی در بال پایینی تیر می‌تواند بهترین گزینه جایگزین باشد. یکی از این روش‌ها برش بال پایینی تیر در مقطع خاص است. شکل برش مانند اتصالات RBS (اتصالات با مقطع کاهش یافته بال تیر) با برش شعاعی است و با این کار، اتصال، از حالت اتصال صلب معمولی به نوعی اتصال شکل پذیرتر تبدیل می‌شود که توانایی تحمل چرخش پلاستیک بیشتری را داشته و شکل پذیری سازه در مجموع افزایش می‌یابد. با توجه به تاثیر بسیار زیاد مقاومت چشمۀ اتصال در رفتار لرزه‌ای و شکل پذیری اتصال، بررسی تاثیر این روش بر چشمۀ اتصال ضروری به نظر می‌رسد. بررسیهای انجام شده مشخص ساخت که ایجاد اتصال RBS در بال پایینی تیر، باعث افزایش ۳۰٪ در میزان چرخش پلاستیک تیر می‌شود. همچنین نیروی واردشونده بر چشمۀ اتصال (با توجه به مقاومت چشمۀ اتصال) کاهش می‌یابد که در نتیجه باعث کاهش ۵۲٪ در میزان چرخش پلاستیک در چشمۀ اتصال می‌شود. در این مقاله همچنین میزان تلف اثری تیر در دو حالت قبل و بعد از بهسازی مطالعه شده‌است. برای انجام تحلیل‌ها از نرم‌افزار ANSYS استفاده شده است.

**کلید واژگان :** اتصال صلب فولادی، اتصال RBS، شکل پذیری، منحنی هیسترسیس، چشمۀ اتصال.

**۱- مقدمه**

مقاومت جانبی و ظرفیت شکل پذیری از ضروری ترین عوامل حاکم بر ظرفیت لردهای ساختمانها است و طرح تقویت موثر زمانی تعیین می شود که مقاومت نهایی و شکل پذیری ساختمانها موجود ارزیابی شود.

تقویت و بهسازی ساختمانها موجود با سه روش عمده صورت می پذیرد [3]:

الف) ارتقاء مقاومت نهایی کل سازه؛

ب) بهبود دادن ظرفیت تغییرشکل غیر الاستیک سازه یعنی قابلیت شکل پذیری؛

ج) ترکیب موارد فوق.

این سه مفهوم بطور شماتیک در شکل (۱-الف) نشان داده شده اند.

نکته قابل توجه اینکه شکل های (۱-ب) و (۱-ج) حدود مرزی را نشان می دهند و در عمل نیز در همه طرح ها جهت تقویت از ترکیب افزایش مقاومت و شکل پذیری استفاده می شود (شکل ۱-د) [3].

روش افزایش مقاومت همانند اضافه کردن بادبند، دیوار برشی، پانل ساندویچی و ... است.

روش افزایش شکل پذیری شامل حالات متنوع تری است. یکی از روش ها انتقال مفصل پلاستیک به داخل تیر است.

باتوجه به استفاده فراوان از قاب های خمی فولادی در طراحی های لردهای سازه ها، و با توجه به این نکته که این سازه ها در گذشته بر اساس ضوابط و آین نامه هایی طراحی شده اند که ضوابط مربوط به نحوه تشکیل مفصل پلاستیک و نحوه گسترش آن را مورد بررسی قرار نداده اند، در نتیجه پس از زلزله نتریج، تحقیقات بسمت افزایش شکل پذیری اتصالات صلب پیش رفت و بطور

کلی اتصالات پس از زلزله نتریج<sup>۱</sup>، شکل گرفت. در این اتصالات هدف بطور عمده انتقال مفصل پلاستیک به داخل تیر و به یک فاصله معین از برستون است. بگونه ای که در این اتصالات دور ساختن مفصل پلاستیک از برستون، باعث کاهش تمرکز کرنش به وجود آمده در ناحیه جوش می شود و در نتیجه باعث کاهش میزان ترک خودگکی جوش و درنتیجه کاهش شکست ترد در اتصال می شود.

روش های متعددی برای انتقال مفصل پلاستیک پیشنهاد می شود. در حالت کلی این روش ها بدو دسته عمده تقسیم می شود:

۱- یکسری از اتصالات پس از زلزله نتریج بگونه ای طراحی شده اند که با افزودن اجزایی به اتصال باعث افزایش مقاومت تیر در ناحیه اتصال شده و باعث کاهش تنش در اتصال می شود. در نتیجه باعث انتقال مفصل پلاستیک به داخل تیر می شود و از چرخش اجزای اتصال نسبت به هم (تیر نسبت به ستون) جلوگیری می کنند که در نتیجه تنش کمتری در ناحیه جوش ایجاد می شود. استفاده از ماهیچه<sup>2</sup> و یا پشت بند<sup>3</sup> و ... از این دسته اند.

۲- در روش دوم با کاهش مقاومت تیر در بخش های مشخصی از تیر، باعث تضعیف تیر در یک ناحیه مشخص و از پیش تعیین شده گشته که در نتیجه مفصل پلاستیک در این ناحیه تشکیل شده و از برستون به داخل تیر منتقل می شود. انواع اتصالات RBS از این دسته اند.

برای مقاوم سازی و یا بهسازی رفتار اتصالات در برابر نیروی زلزله از هر دو روش می توان بهره جست. هر کدام

1. Post-northridge  
2. Haunch  
3. Rib

می‌پذیرد. این نوع اتصال در جهان با نام RBS و در ایران با نام اتصال استخوانی<sup>2</sup> شناخته می‌شود.

آزمایش‌های متعددی بر روی این اتصال هنگام استفاده در قابهای خمی ویژه انجام شده و روابط نحوه برش در بال تیر و جزئیات آن در گزارش‌های FEMA را به شده است [6] و [7]. اتصال RBS انواع مختلفی داشته و دارای سه حالت برش متداول در بال تیر است. در اینجا به بررسی اتصال RBS در بال پایینی که برش شعاعی دارد، پرداخته شده است.

مزایای ایجاد اتصال RBS در بال پایینی عبارت‌اند از:

- 1- کاهش نیروی برشی وارد شونده به چشم‌هه اتصال؛
- 2- کاهش نیروی وارد شونده به ورق‌های پیوستگی؛
- 3- برای اطمینان از وجود رابطه تیر ضعیف - ستون قوی؛
- 4- افزایش کارایی اتصال با کاهش تنش در جوش شیاری متصل کننده بال تیر به بال ستون.

با توجه به این نکته که تمامی آزمایش‌های انجام شده در جهان روی مقاطع آمریکایی بوده و در ایران استفاده از این مقاطع متداول نیست، بررسی تاثیر روش بالا بر روی پروفیل‌های متداول در ایران ضروری به نظر می‌رسد.

بنابراین در اینجا به بررسی تاثیر ایجاد اتصال RBS در بال پایینی بر روی رفتار لرزه‌ای اتصال پرداخته شده است.

## 2- روند طراحی اتصال RBS

برای طراحی اتصال RBS با برش شعاعی از روابط پیشنهادی FEMA استفاده می‌شود (روابط ۱ و ۲ و ۳ و ۴) [۷].

$$a \approx (0.5 \sim 0.75)b_f \quad (1)$$

$$b \approx (0.65 \sim 0.85)d \quad (2)$$

$$c \approx (0.2b_f \sim 0.25b_f) \quad (3)$$

از این دو روش دارای مزایا و معایبی هستند که قبل از انتخاب جزئیات مناسب برای بهسازی لرزه‌ای اتصال باید به‌طور کامل بررسی شوند.

یکی از پارامترهای بسیار تاثیرگذار در روند مقاوم‌سازی و بهسازی لرزه‌ای اتصالات فولادی، تاثیر مقاومت چشم‌هه اتصال<sup>1</sup> است. به فصل مشترک تیر و ستون، چشم‌هه اتصال می‌گویند. تحقیقات بسیاری بر روی اثر چشم‌هه اتصال بر رفتار لرزه‌ای اتصالات انجام شده اما تحقیقاتی درباره تاثیر چشم‌هه اتصال بر روند بهسازی رفتار اتصالات انجام نشده است. علت آن شاید ضخامت زیاد جان ستون در مقاطع متداول در آزمایش‌های انجام شده در جهان باشد (مقاطع امریکایی WXX) که در نتیجه باعث کم اهمیت شدن تاثیر چشم‌هه اتصال می‌شود؛ زیرا در بیشتر این مقاطع ضخامت جان ستون زیاد است. در صورتی که در مقاطع I شکل اروپایی و مقاطع بال پهن (Hشكل) اروپایی که در ایران متداول است، ضخامت جان کمتر از مقاطع آمریکایی است، در نتیجه تاثیر چشم‌هه اتصال بیشتر نمایان می‌شود. اصولاً یکی از معیارهای انتخاب طرح مقاوم‌سازی اتصالات خمی، مقاومت چشم‌هه اتصال است. زیرا اگر چشم‌هه اتصال بسیار ضعیف باشد، اجرای هرگونه طرح بهسازی برای اتصالات فولادی بی‌فایده خواهد بود.

از طرف دیگر تقویت چشم‌هه اتصال، بسیار پرهزینه، دشوار و پیچیده است. در نتیجه در اینجا به بررسی یکی از طرح‌های بهسازی اتصال در قاب خمی ویژه فولادی پرداخته می‌شود. همانگونه که پیشتر گفتیم برش بال تیر یکی از روش‌های بهسازی رفتار اتصالات در برابر نیروی زلزله است. برش بال تیر در ناحیه‌ای نزدیک ستون و در فاصله‌ای مشخص و با جزئیات مشخصی صورت

یافتن رفتار اتصال می‌گردد؛ اما کاهش بیش از این مقدار می‌تواند مشکلات عدیده‌ای را برای پایداری تیر فراهم آورد (کمانش جان تیر، کمانش پیچشی بال تیر و ....) [8] و [9]. در نتیجه حداکثر می‌توان 50% مقطع بال پایینی تیر را کاهش داد که این میزان برش باعث کاهش در اساس مقطع پلاستیک نمونه به میزان 19% می‌شود [8].

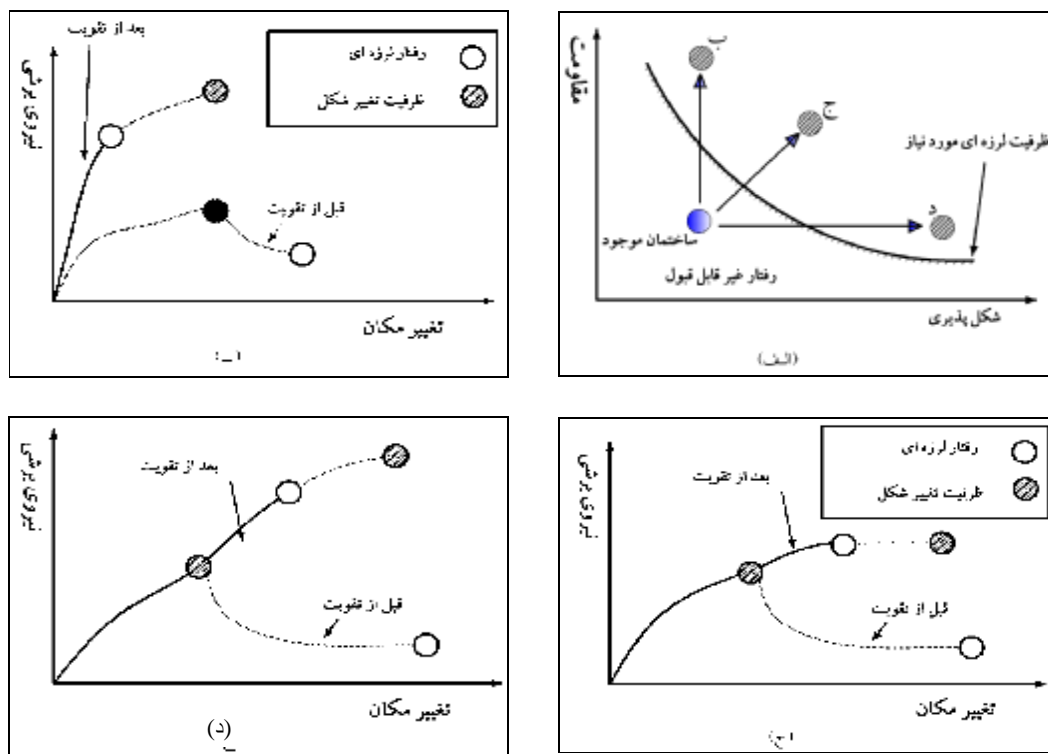
در مدل‌های استفاده شده در این مقاله از میزان برش 50% استفاده شده و میزان  $C = 0.25b_f$  مورد استفاده قرار گرفته است. مقادیر برش و ابعاد  $a, b, c, R$  در جدول (1) موجود است. برش ایجاد شده باعث کاهش بسیار ناچیزی در سختی است. برش ایجاد شده باعث کاهش سختی برای برش هر دو بال  $\sim 5\%$  می‌گردد. میزان کاهش سختی برای برش هر دو بال  $\sim 4\%$  است [11].

$$R = \frac{4c^2 + b^2}{8c} \quad (4)$$

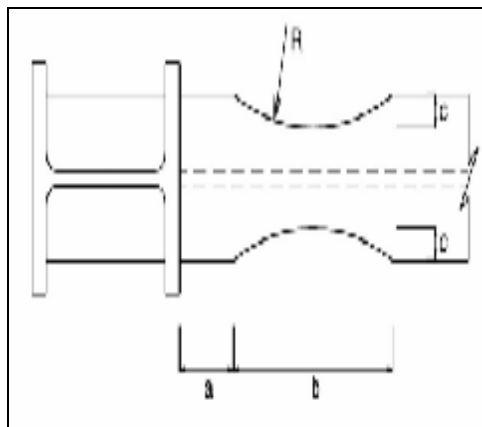
که در آن  $R, a, b, c$  به ترتیب برابر با شعاع برش و میزان برش حداکثر و طول برش و فاصله ابتدای ناحیه بریده شده تا برستون است (شکل شماره 2). همچنین  $b_f, d, b$  به ترتیب برابر با عرض بال تیر و ارتفاع مقطع تیر است [7].

به علت عدم دسترسی به بال بالایی تیر که معمولاً در دال بتنی مدفون است و پر هزینه بودن تخریب دال و برش بال بالایی، برای بهسازی اتصالات قاب‌های خمی موجود، از اتصال RBS در بال پایینی استفاده می‌شود. مشخصات برش در این حالت همانند زمانی است که هر دو بال دارای بریدگی هستند.

بر اساس تمهدیات FEMA، حداکثر میزان کاهش مقطع بال تیر برابر با 50% می‌باشد، که در این مقاله نیز حداکثر کاهش، به همین



شکل 1 رابطه عکس العمل زمین لرزه قبل و بعد از تقویت؛ الف) مفهوم اساسی تقویت لرزه‌ای، ب) افزایش مقاومت، ج) افزایش شکل پذیری، د) افزایش مقاومت و شکل پذیری



شکل ۲ پارامترهای طراحی در اتصال با برش شعاعی

جدول ۱ مشخصات مقطع در اتصال RBS

تیر	a	b	c	R
IPE ۳۳۰	۱۰ cm	۲۶ cm	۴ Cm	۲۳/۱۲۵ cm

$$V_y = 0.6F_y d_c t_{cw} \left( 1 + \frac{3b_c t_f^2}{d_b d_c t_{cw}} \right) \quad (6)$$

$$V_{pz} = \sum \frac{M_{yb}}{d_b - t_{fb}} \left( \frac{L}{L - d_c} \right) \left( \frac{h - d_b}{h} \right) \quad (7)$$

$$V_{pz} = b_E \sum M_p \left[ \frac{1}{0.95d_b} - \frac{L_b + d_c/2}{L_b} \frac{1}{H} \right] \quad (8)$$

که در آن  $F_y$  و  $d_c$  و  $t_{cw}$  و  $d_b$  و  $t_f$  و  $L_b$  و  $H$  و  $M_p$  و  $M_{yb}$  به ترتیب برابر با تنش جاری شدگی چشمeh اتصال، ارتفاع ستون، ضخامت چشمeh اتصال، ضخامت بال ستون، ارتفاع تیر، طول دهانه تیر، ارتفاع ستون، مجموع لنگرهای وارد شونده بر ستون از طرف تیر، لنگر پلاستیک تیر (قطع کاهش نیافته) و ضریب لنگر در اتصال کاهش یافته است.

### ۳- طراحی چشمeh اتصال

طراحی طوری انجام شده که چشمeh اتصال در حالت تعادل باشد. برای کنترل حالت تعادل، نسبت  $\frac{V_{pz}}{V_y}$  کنترل می شود.  $V_y$  و  $V_{pz}$  به ترتیب از رابطه (5) و (6) به دست می آید.  $V_y$  حد نهایی برش در چشمeh اتصال است که از رابطه (5) به دست می آید که در آیین نامه ایران از ضریب ۰/۵۵ استفاده شده [1] و [2] و در آیین نامه AISC ۰/۵ است [5] (رابطه های ۵ و ۶). در اتصالات معمول که محل تشکیل مفصل پلاستیک در بر ستون است، از رابطه (7) به دست می آید در صورتی که در اتصال RBS،  $V_{pz}$  از رابطه (8) به دست می آید [6] و [4]:

$$V_y = 0.55F_y d_c t_{cw} \left( 1 + \frac{3b_c t_f^2}{d_b d_c t_{cw}} \right) \quad (5)$$

#### 4- مدل سازی اتصال در نرم افزار ANSYS

آنالیز رفت و برگشتی<sup>1</sup> یکی از انواع آنالیزهای است که معمولاً برای بررسی زیرسازه‌ها<sup>2</sup> مورد استفاده قرار می‌گیرد. برای مدل سازی نمونه از یک زیرسازه صلبی (+) استفاده شده است (شکل 3-الف). برای مقطع تیر از پروفیل IPE330 و برای مقطع ستون از پروفیل IPB260 استفاده شده است.

از دو ورق مضاعف به ضخامت 1cm برای تقویت چشممه اتصال استفاده شده است (ظرفیت چشممه اتصال مناسب با ظرفیت پلاستیک تیر است و چشممه اتصال در حالت تعادل قرار دارد). همچنین از ورق پیوستگی در مدل سازی استفاده شده و ضخامت ورق پیوستگی برابر با ضخامت بال تیر در نظر گرفته شد. دو مدل، یکی دارای اتصال SMF است و دیگری توسط برش در بال پایینی مقاوم سازی شده است. هر دو مدل توسط اتصال مستقیم بال تیر به ستون طراحی شده اند. همچنین در مدل سازی، ورق های منتقل کننده برش از جان تیر به بال ستون نیز طراحی شده است [2].

برای مدل سازی از المان صفحه ای SHELL43 استفاده شد که دارای چهار گره و هر گره دارای شش درجه آزادی است (سه درجه آزادی انتقالی و سه درجه آزادی دورانی). همچنین دارای خواص غیر خطی و تغییر شکل بزرگ است. با توجه به این نکته که در این زیرسازه تمرکز تنش و کرنش در ناحیه اتصال و چشممه اتصال است، از مشبندی ریزتری در این نواحی استفاده شد. سپس مدل ها تحت بارگذاری رفت و برگشتی قرار گرفت اند. نمودار بارگذاری در شکل (3-ب) مشاهده می شود [6].

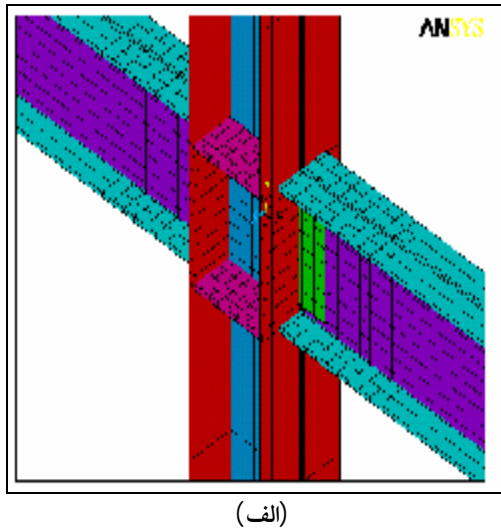
در رابطه (8)،  $b_E M_p$  حداقل نیاز لرزه ای در بر ستون بوده که بر پایه تحقیقات Engelhardt (1998)<sup>3</sup> بین  $b_E$  در این تحقیقات 0/85 است [10]. در این تحقیقات  $b_E$  برابر واحد در نظر گرفته شده است. اگر  $\frac{V_{pz}}{V_y}$  بیش از 0/9 باشد، چشممه اتصال ضعیف بوده و جاری شدگی، ابتدا از چشممه اتصال Chi، Tawil، Kunnath شروع می شود [7]. تحقیقات FEMA 343<sup>4</sup> نشان داد که تغییر شکل زیاد در چشممه اتصال که بر اثر جاری شدن چشممه اتصال به دست می آید، باعث افزایش احتمال ترک در اتصال شده و همچنین باعث کاهش ظرفیت در چرخشهای بزرگ می شود [6]. پیشنهاد FEMA برای این نسبت، بین 0/6 تا 0/9 است [6]. اما هر چه این نسبت به 0/9 نزدیکتر باشد، اتصال رفتار متعادل تری دارد. همان گونه که در جدول (2) مشاهده می شود، با ایجاد اتصال RBS این نسبت کاهش می یابد که در نتیجه با استفاده از روابط تئوری مقاوم سازی باعث عملکرد بهتر اتصال می گردد.

جدول (2) مشخصات چشممه اتصال

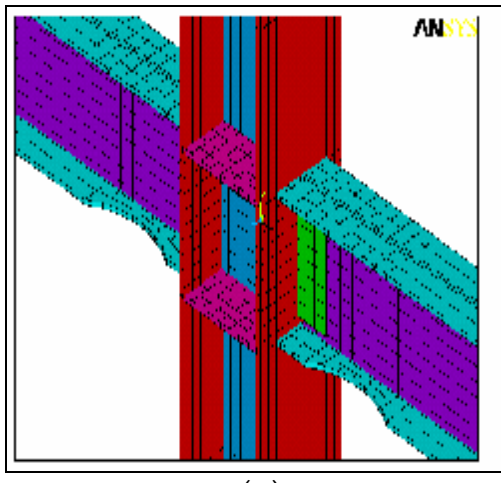
نام اتصال	نوع چشممه	ورق مضاعف	$V_{pz}$ (ton)	$V_y$ (ton)	$V_{pz}/V_y$
SMF	1/2	2x1 Cm	115/2	112/5	1/024
RBS	1/2	2x1 Cm	109/6	112/5	0/974

1. cyclic  
2. Sub structure

برای مدلسازی جوش‌های گوشه (که متصل کننده ورق برشی به جان تیر است) از المان SHELL43 استفاده شده بگونه‌ای که ضخامت ورق متصل کننده برابر با اندازه ضخامت گلوی جوش است که تقریب قابل قبولی دارد. نحوه مدلسازی و مشبندی انجام شده در شکل (۴) مشخص است.

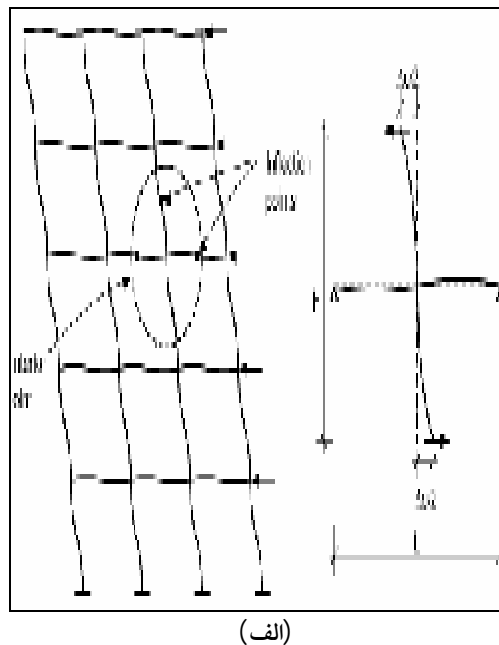


(الف)

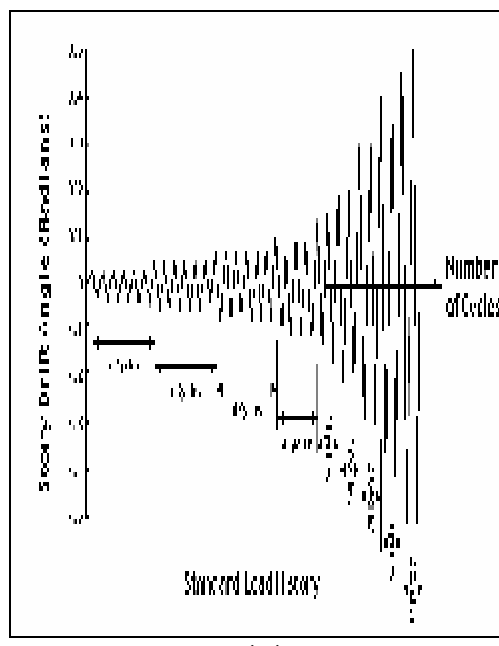


(ب)

شکل 4 نمونه‌های تحلیل شده؛ (الف) نمونه SMF، (ب) نمونه دارای اتصال RBS در بال پایینی تیر

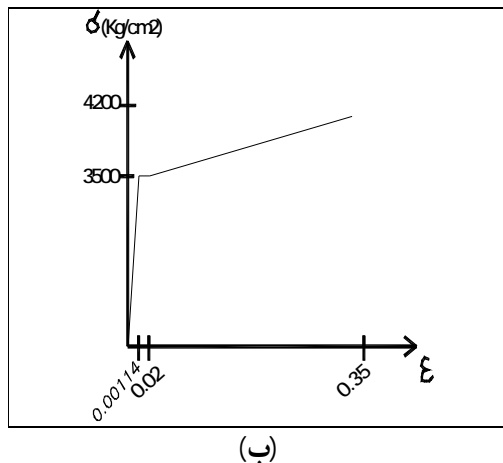


(الف)



(ب)

شکل 3 (الف) زیرسازه به کار رفته در مدلسازی،  
ب) تاریخچه بارگذاری مورد استفاده در تحلیل



(ب)

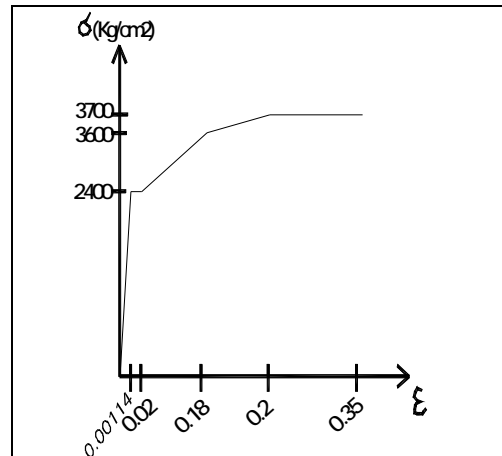
شکل 5 نمودار تنش - کرنش؛ (الف) فولاد بکار گرفته شده در مدل سازی، (ب) جوش در مدل سازی

#### 1-4- مدل سازی مصالح

نمودارهای تنش-کرنش فولاد و جوش مدل سازی شده به ترتیب مطابق شکل (5-الف و ب) است. برای مدل سازی قسمت اول خط از مدول الاستیستیه برابر  $2/1 \times 10^6 \text{ Kg/cm}^2$  استفاده شده است. شیب قسمت دوم برابر 0/02 ناحیه الاستیک در نظر گرفته شد. میزان تنش جاری شدگی فولاد برابر با  $2400 \text{ Kg/cm}^2$  و میزان تنش نهایی آن برابر  $3700 \text{ Kg/cm}^2$  در نظر گرفته شد. برای مدل سازی جوش از میزان تنش جاری شدگی  $3500 \text{ Kg/cm}^2$  و تنش نهایی  $4200 \text{ Kg/cm}^2$  استفاده شد.

#### 2-4- شرایط مرزی زیرسازه

با توجه به صفر بودن لنگر در ناحیه وسط دهانه تیر و ستون، می‌توان شرایط مرزی را تعیین کرد. با توجه به مدل سازی زیرسازه صلبی (که نیمی از تیر و ستون در دو طرف مدل سازی شده) از غلطک در دو طرف زیرسازه استفاده شده است. برای جلوگیری از حرکت صلب زیرسازه، پایین ستون علاوه بر مهار در جهت قائم، باید در جهت افقی نیز مهار شود. در نتیجه نوک پایینی ستون با استفاده از تکیه گاه مفصلی مدل سازی شده است.



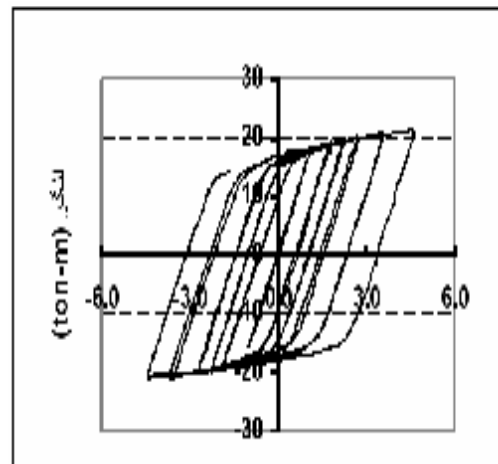
(الف)

#### 5- بررسی نتایج به دست آمد

##### 5-1- مقایسه منحنی هیسترسیس به دست آمد

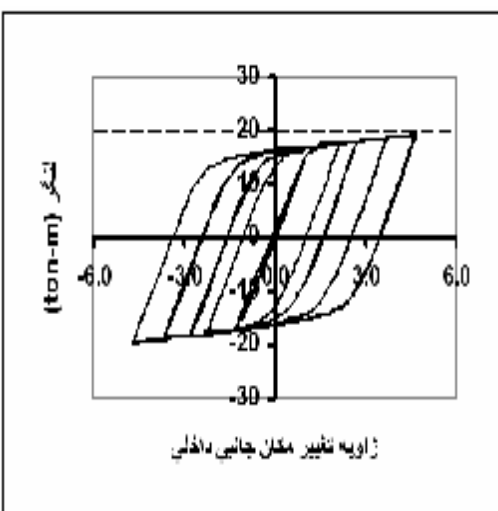
منحنی های هیسترسیس به دست آمده توسط نرم افزار برای نمونه های مورد نظر در شکل (6) نمایان است. لنگر در بر ستون اندازه گیری شده، و زاویه تغییر مکان جانبی داخلی<sup>1</sup> سازه از تقسیم تغییر مکان جانبی بالای زیرسازه بر ارتفاع کل زیرسازه به دست می آید.

با توجه به ظرفیت پلاستیک  $t.m$  19/30 تیر، نسبت حداکثر لنگر واردہ به ظرفیت مقطع برای اتصال  $SMF$  و  $RBS$  به ترتیب برابر  $1/10$  و  $1/01$  است. به عبارت دیگر افزودن اتصال  $RBS$  در بال پایینی باعث کاهش لنگر واردہ به اتصال و در نتیجه کاهش نیروی برشی واردہ به چشمہ اتصال می‌شود. در نتیجه نسبت لنگرها  $0/92$  است؛ یعنی  $0/80$  کاهش در لنگر واردہ از طرف تیر به ستون رخ داده است. همانگونه که در شکل (7) مشخص است، حداکثر تنش به دست آمده برای اتصال  $SMF$  در تیر و در بر ستون، و در تیر بهسازی شده در فاصله مشخص و از پیش تعیین شده است. همچنین تاثیر برش بال تیر بر روی نحوه گسترش مفصل پلاستیک به خوبی مشهود است. در شکل (8) نمودار لنگر در مقابل چرخش پلاستیک در تیر مشاهده می‌شود. حداکثر چرخش در اتصال  $SMF$  برابر  $0/025$  رادیان و در نمونه بهسازی شده برابر  $0/033$  رادیان است. در نتیجه ایجاد اتصال  $RBS$  باعث افزایش  $30\%$  چرخش پلاستیک تیر گشته است. به عبارت دیگر ایجاد اتصال  $RBS$  باعث افزایش گسترش مفصل پلاستیک در تیر می‌شود. همچنین حداکثر تنش برشی در مدل بهسازی شده نسبت به مدل  $SMF$  در چشمہ اتصال و جان تیر  $0/04$  کاهش یافته است. در مورد چشمہ اتصال نیز ایجاد ناحیه کاهش یافته باعث کاهش بسیار چشمگیری در چرخش پلاستیک چشمہ اتصال می‌شود. میزان چرخش در اتصال معمولی برابر  $0/025$  رادیان، و در مدل دارای اتصال  $RBS$  در بال تختانی، حداکثر چرخش برابر  $0/012$  رادیان است. در نتیجه کاهش  $52\%$  در چرخش چشمہ اتصال به وجود می‌آید. منحنی هیسترسیس به دست آمده برای چشمہ اتصال هر دو نمونه در شکل (9) مشاهده می‌شود.



زاویه تغییر مخلن چشی داخلی

(الف)

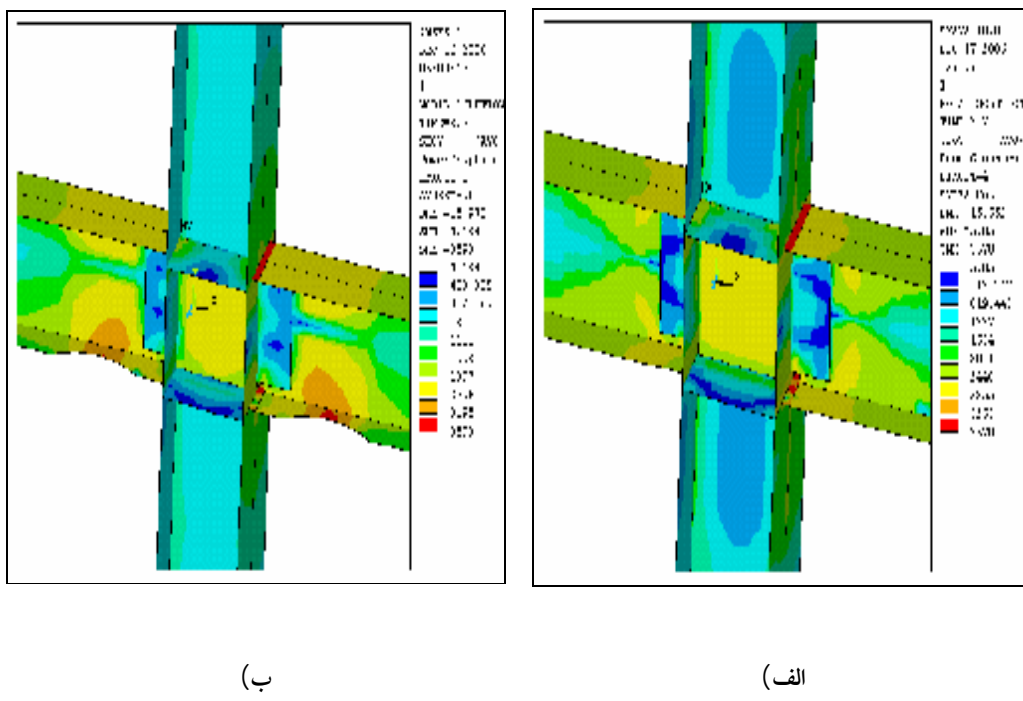


زاویه تغییر مخلن چشی داخلی

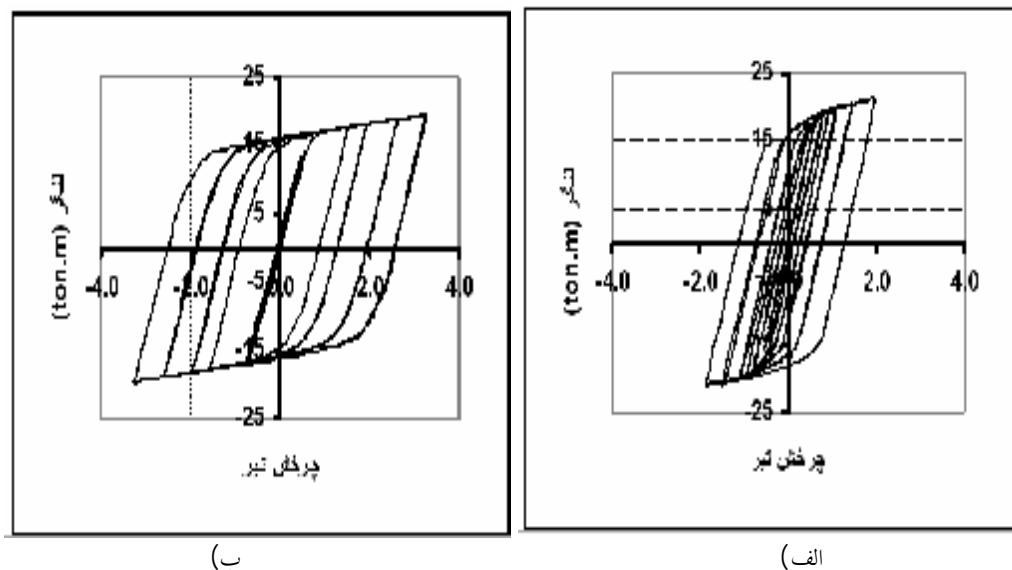
(ب)

شکل 6 منحنی لنگر - زاویه تغییر مکان جانبی داخلی نمونه‌های تحلیل شده؛ (الف) نمونه  $RBS$ ، (ب) نمونه  $SMF$

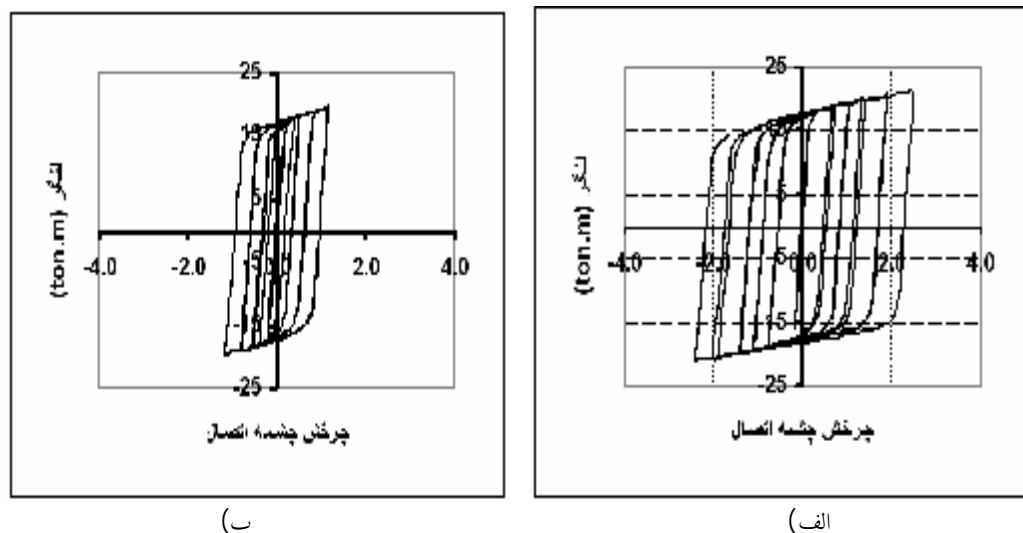
با توجه به این نمودار مشخص می‌شود که حداکثر لنگر واردہ از طرف تیر در بر ستون در دو نمونه برای اتصال معمولی برابر  $t.m 21/15$  و برای اتصال دارای برش در بال پایین برابر  $t.m 19/54$  است.



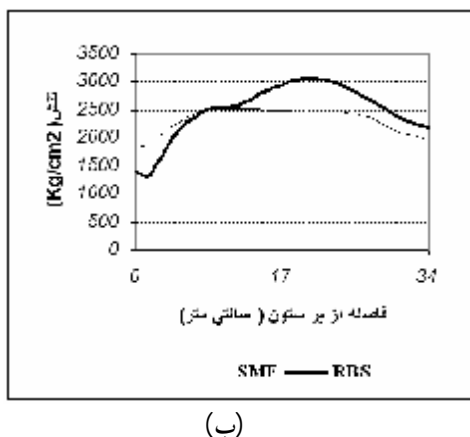
شکل 7 تنشهای معیار فون میسز در زاویه تغییر مکان جانبی داخلی ۰/۰۴۷:  
الف) نمونه RBS، ب) نمونه SMF



شکل (8) منحنی لنگر - چرخش پلاستیک تیر برای نمونه های؛ الف ) نمونه SMF ب ) نمونه RBS



شکل (۹) منحنی لنگر - چرخش برای چشممه اتصال نمونه های تحلیل شده؛ الف ) نمونه SMF، ب ) نمونه RBS

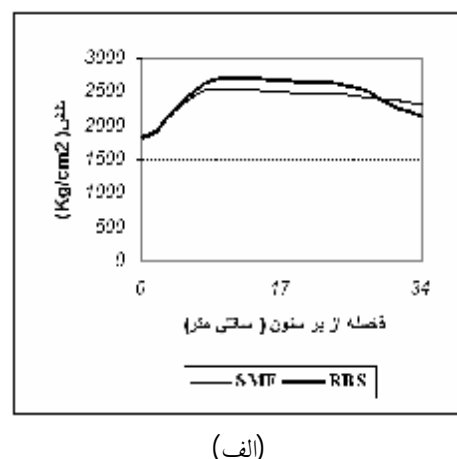


شکل 10 نمودار تنش فونمیسز در طول خط مرکزی تیر؛  
الف) بال بالایی تیر سمت راست، ب) بال پایینی تیر سمت راست

با توجه به این که مقادیر تنش، کرنش و انرژی تلف شده در نزدیک محل اتصال قابل توجه است، به بررسی نمودارهای به دست آمده پرداخته شده است. با بررسی نمودارهای تنش فونمیسز (شکل های 10 و 11) مشخص شد که ایجاد اتصال RBS در بال پایینی تیر روی نمودار تنش فونمیسز بال

## 2-5- مقایسه نمودارهای تنش در طول خط مرکزی تیر

در این قسمت به مقایسه نمودارهای تنش فونمیسز در طول خط مرکزی تیر پرداخته شده است؛ یعنی در طول قسمتی از تیر که اتصال RBS در بال پایینی آن ایجاد شده است، پرداخته می شود (در محل اتصال بال تیر به جان تیر و در طول a+b در شکل ۲).



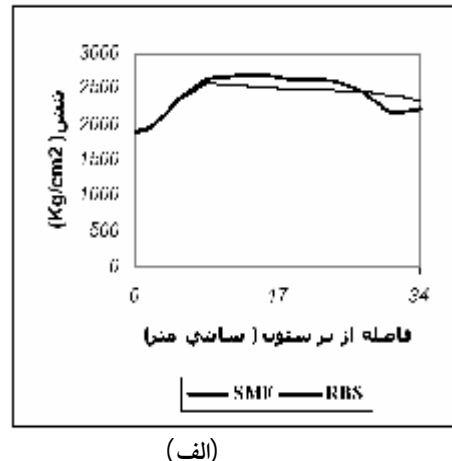
RBS باعث افزایش تنش در ناحیه کاهش یافته می‌شود، اما باعث کاهش تنش در ناحیه تیر بین اتصال RBS و ستون می‌شود (در طول a در شکل 2). اما در بال پایینی ایجاد اتصال RBS باعث افزایش قابل توجهی در تنش حداکثر به وجود آمده در خط مرکزی تیر می‌شود. این میزان افزایش در تیر سمت راست برابر با 23٪ است. در تیر سمت چپ نیز همین روند وجود دارد با این تفاوت که حداکثر میزان افزایش برابر با 26٪ است.

### 3-5 مقایسه نمودارهای انرژی در طول خط مرکزی تیر

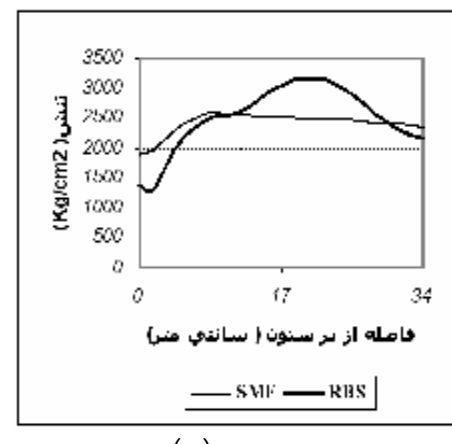
در این قسمت به مقایسه نمودارهای انرژی تلف شده در طول خط مرکزی تیر می‌پردازیم. با توجه به این که مقادیر تنش و کرنش و انرژی تلف شده در نزدیک محل اتصال قابل توجه است، در این بخش به بررسی RBS نمودارهای به دست آمده در طول قسمتی که اتصال RBS ایجاد شده، می‌پردازیم (در محل اتصال بال تیر به جان تیر و در طول a+b در شکل 2). نمودارهای انرژی تلف شده در شکل های (12) و (13) مشاهده می‌شود. با توجه به این نمودارها مشخص می‌شود که تاثیر ایجاد اتصال RBS در بال پایینی تیر بر مقادیر حداکثر انرژی تلف شده در بال بالایی تیر زیاد نیست و فقط باعث افزایش میزان انرژی تلف شده در طول ناحیه کاهش یافته تیر می‌گردد. همانگونه که مشاهده می‌شود، در انتهای ناحیه کاهش RBS ایجاد میزان انرژی تلف شده در تیر دارای اتصال SMF بسیار ناچیز است. در صورتی که در تیر دارای اتصال RBS این مقدار قابل توجه است.

اما در بال پایینی، ایجاد اتصال RBS باعث افزایش قابل توجهی در میزان انرژی تلف شده حداکثر به وجود

بالای تیر، تاثیر زیادی ندارد و فقط باعث افزایش میزان تنش در اطراف ناحیه کاهش یافته تیر می‌شود. این نمودارها در زاویه تغییر مکان جانبی 7/4٪ به دست آمده و تنش در انتهای ناحیه کاهش یافته است.



(الف)



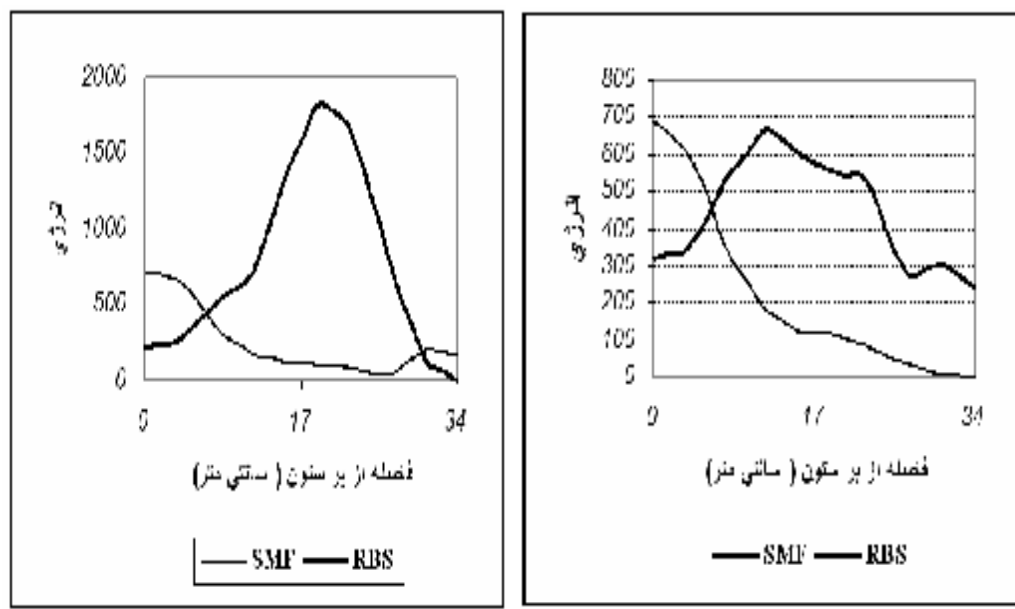
(ب)

شکل 11 نمودار تنش فونمیسز در طول خط مرکزی تیر؛  
الف) بال بالایی تیر سمت چپ، ب) بال پایینی تیر سمت چپ،

در نمونه دارای اتصال RBS در بال پایینی، در مقایسه با تیر دارای اتصال SMF کمتر است. البته حداکثر افزایش در میزان تنش در قسمت میانی ناحیه کاهش یافته برابر با 7٪ است. این نشاندهنده آن است که اگرچه ایجاد اتصال

روند وجود دارد با این تفاوت که حداکثر افزایش برابر با ۲۶۲٪ است.

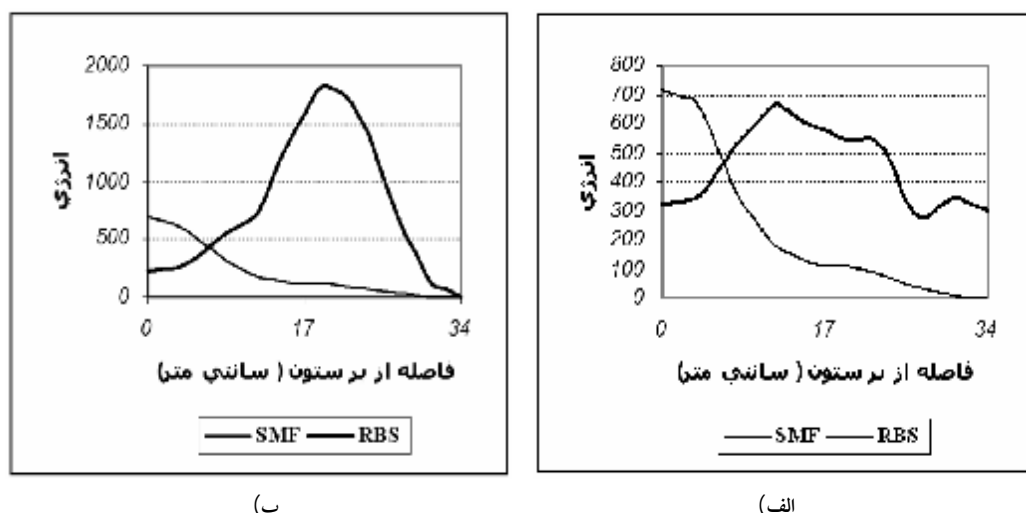
آمده در خط مرکزی تیر می‌شود. این افزایش در تیر سمت راست برابر ۲۵۰٪ است. در تیر سمت چپ نیز همین



(ب)

(الف)

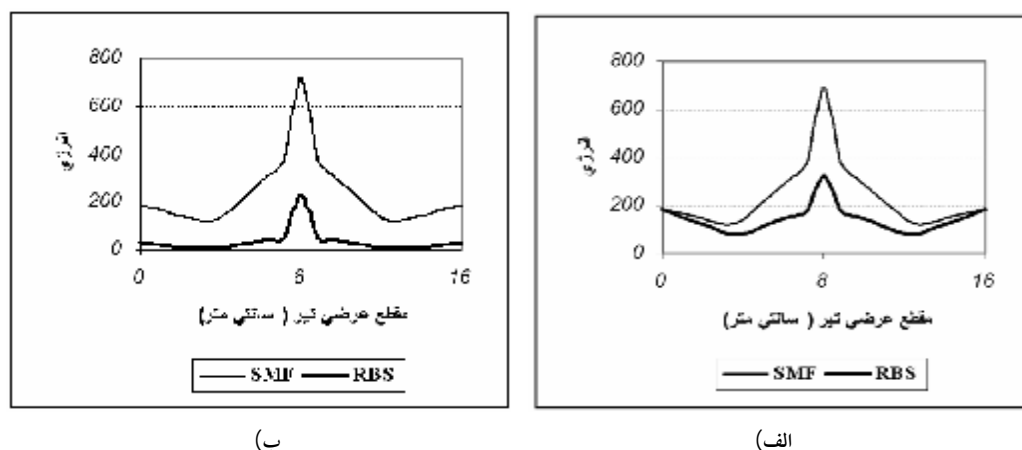
شکل 12 نمودار انرژی تلف شده در طول خط مرکزی تیر؛ (الف) بال بالایی تیر سمت راست، (ب) بال پایینی تیر سمت راست



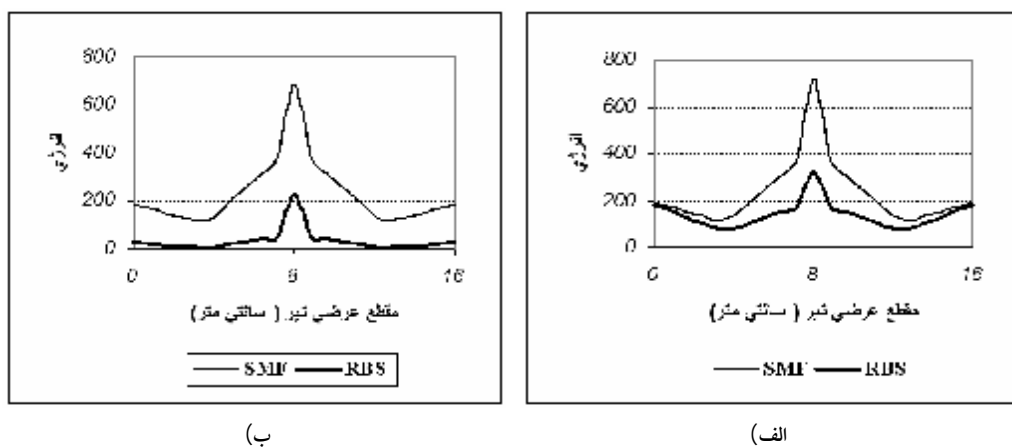
(ب)

(الف)

شکل 13 نمودار انرژی تلف شده در طول خط مرکزی تیر؛ (الف) بال بالایی تیر سمت چپ، (ب) بال پایینی تیر سمت چپ



شکل 14 نمودار انرژی تلف شده در مقطع عرضی تیر؛ (الف) بال بالایی تیر سمت راست، (ب) بال پایینی تیر سمت راست



شکل 15 نمودار انرژی تلف شده در مقطع عرضی تیر؛ (الف) بال بالایی تیر سمت چپ، (ب) بال پایینی تیر سمت چپ

با بررسی مقادیر حداکثر، مشاهده می‌شود که حداکثر انرژی تلف شده در بال بالایی در نمونه دارای اتصال SMF، 113% بیشتر از زیرسازه تقویت نشده است. این نسبت برای بال پایینی تیر برابر 150% است. همچنین ایجاد اتصال RBS در بال پایینی باعث کاهش حداکثر تلف انرژی در ناحیه اتصال در بال بالایی به میزان 12% و در بال پایینی تیر (در ناحیه اتصال) به میزان 33% می‌شود.

#### 4-5 مقایسه نمودارهای انرژی در مقطع عرضی بال تیر

در این قسمت به مقایسه نمودارهای انرژی در مقطع عرضی بال بالایی و پایینی تیرها می‌پردازیم که در شکل‌های (14) و (15) مشاهده می‌شود. هر دو تیر سمت چپ و راست نتایج مشابهی داشته‌اند.

- چرخش تیر برابر ۰/۰۲۵ رادیان است، در صورتی که در نمونه بهسازی شده برابر ۰/۰۳۳ رادیان است. در نتیجه ایجاد اتصال RBS باعث افزایش ۳۰٪ در چرخش پلاستیک تیر شده است.
۳. با بررسی نمودارهای تنش در امتداد ناحیه کاهش یافته در بال بالایی و پایینی مشخص می‌شود که ایجاد اتصال RBS باعث افزایش اندکی در میزان تنش در بال بالایی می‌شود و در بال پایینی باعث افزایش در تیر سمت راست به میزان ۲۳٪ و در تیر سمت چپ به میزان حداقل افزایش برابر ۲۶٪ است.
۴. بررسی نمودارهای تلف انرژی به‌دست آمده در امتداد ناحیه کاهش یافته نشان‌دهنده تلف عالی انرژی توسط ناحیه کاهش یافته در بال پایینی تیر است. نسبت حداقل انرژی تلف شده در مدل بهسازی شده نسبت به مدل معمولی در تیر سمت راست برابر با ۲۵۰٪، و برای تیر سمت چپ برابر ۲۶۲٪ است. همچنین اگرچه تاثیر کاهش مقطع بال بر روی تلف انرژی بال بالایی از نظر مقدار حداقل ناچیز است، اما باعث انتقال ناحیه انرژی حداقل به داخل بال بالایی تیر می‌شود (بیشترین انرژی تلف شده در بال بالایی در ناحیه‌ای دورتر از اتصال رخ می‌دهد).
۵. با بررسی نمودارهای تلف انرژی به‌دست آمده در مقطع عرضی بال تیرهای سمت چپ و راست و همچنین در طول بال بالایی و پایینی، مشخص شد که ایجاد اتصال RBS در بال پایینی می‌تواند باعث کاهش مقادیر حداقل انرژی تلفشده توسط ناحیه نزدیک اتصال در تیر گردد. ایجاد اتصال RBS در بال پایینی باعث کاهش ۱۲٪ تلف انرژی

(ناحیه ابتدای نمودار). با توجه به این نمودارها مشخص می‌شود که در حالت کلی، ایجاد اتصال RBS در بال پایینی تیر باعث کاهش چشمگیری در حداقل انرژی تلف شده در ناحیه اتصال تیر به ستون می‌شود. مقادیر کاهش انرژی تلف شده در ناحیه اتصال، در مورد بال بالایی کمتر از بال پایینی است. کاهش در بال بالایی فقط در مرکز تیر رخ داده، در صورتی که در بال پایینی، انرژی تلف شده در کل عرض بال تیر، کمتر از اتصال بهسازی نشده است. میزان انرژی تلف شده دارای ارتباط مستقیمی با احتمال گسترش ترک در جوش و در نتیجه ترد شکنی اتصال دارد. در نتیجه با کاهش انرژی تلف شده در بر ستون و در مقطع تیر، شکل پذیری زیرسازه به خوبی افزایش یافته است.

## 6- نتیجه گیری

۱. مقاوم‌سازی اتصال با کاهش مقطع بال پایینی، علاوه بر هدایت مناسب مفصل پلاستیک به داخل تیر، باعث کاهش لنگر در بر ستون به میزان ۰/۰۸ می‌شود. به‌گونه‌ای که برای اتصال SMF لنگر برابر با ۲۱/۱۵ t.m و برای اتصال دارای برش در بال پایین برابر ۱۹/۵۴ t.m می‌شود. کاهش لنگر می‌تواند باعث کاهش نیروی وارد شونده بر چشمۀ اتصال شود.
۲. بر اثر کاهش نیروهای وارد شونده بر چشمۀ اتصال، میزان چرخش پلاستیک چرخش در اتصال SMF ۵۲٪ کاهش یافته است. این میزان چرخش در اتصال SMF برابر با ۰/۰۲۵ رادیان است، در صورتی که در مدل دارای اتصال RBS در بال تحتانی، حداقل چرخش RBS برابر ۰/۰۱۲ رادیان است. همچنین ایجاد اتصال RBS در بال پایینی تیر، تاثیر قابل ملاحظه‌ای بر حداقل چرخش در تیر دارد. در نمونه SMF حداقل

- [6]Roeder C.,The state-of-the-art report on connection performance. FEMA 355d. Washington, DC:Federal Emergency Management Agency, 2000.
- [7]Federal Emergency Management Agency. ,Recommended seismic design criteria for new steel moment-frame buildings. Report no. FEMA-350; 2000
- [8]Civjan, S. A, Engelhardt, M. D., and Gross, J. L. "Retrofit of Pre-Northridge Moment Resisting Connections." ASCE Journal of Structural Engineering. April 2000. pp. 445-452.
- [9]Chia-Ming Uang , Qi-Song "Kent" Yu, Shane Noel, and John Gross, Cyclic Testing of steel moment connections rehabilitated wth RBS or welded haunch, Journal of structural engineering / January 2000.pp. 57-68.
- [10] Engelhardt M. D. , Winneberger T., Zekany A., and potyraj T. J. " Experimental Investigation of Dogbone Moment Connections", Engineering Journal Fourth Quarter, PP.128-139,1998.
- [11] Grubbs,K. V. " Effect of the Dogbone Connection on the Elastic Stiffness of Steel Moment Frames", Master's Thesis, Department of Civil Engineering , The University of Texas at Austin,Austin, TX,August1997.

حداکثر در ناحیه اتصال در بال بالای و 33% در بال پایینی تیر (در ناحیه اتصال) است. این امر باعث کاهش احتمال شکست در جوش متصل کننده بال تیر به بال ستون می شود.

## ۷- منابع

- [1] آین نامه طراحی ساختمانها در برابر زلزله، استاندارد 2800 -ویرایش سوم
- [2] مقررات ملی ساختمان . مبحث دهم، طرح و اجرای ساختمانهای فولادی 1384.
- [3] وطنی اسکویی،صغر، نقش اتصالات در مقاوم سازی ساختمانها در برابر زلزله، تهران، 1380، ص 21-23.
- [4] A.Moslehi Tabar ، A.Deylami ، Instability of beams with reduced beam section moment connections emphasizing the effect of column panel zone ductility, Journal of Constructional Steel Research 61 (2005) 1475–1491.
- [5]AISC (2005). Seismic Provisions for Structural Steel Buildings (2005), American Institute of Steel Construction, Chicago.